

Synthesis and designing of nanofibers containing zeolitic nanozymes as a wound dressing

Mahnaz Mohammadpour ¹ , Hamed Ghanbari ² , Zhil Izadi ³ , Hanieh Rezaee ⁴ , Hossein Derakhshankhah ^{3*} 

¹ Dept of chemistry, Faculty of Sciences, Tarbiat Modares University, Tehran, Iran

² Dept of Organic Chemistry, Faculty of Chemistry, Razi University, Kermanshah, Iran

³ Pharmaceutical Sciences Research Center, Health Institute, Kermanshah University of Medical Sciences, Kermanshah, Iran

⁴ Pharmaceutical Student Research Committee, Kermanshah University of Medical Sciences, Kermanshah, Iran

Article Info

Article type:
Research article

Article History:

Received: May. 03, 2025

Received in revised form:

Jul. 10, 2025

Accepted: Aug. 20, 2025

Published Online: Sep. 27, 2025

* Correspondence to:

Hossein Derakhshankhah
Pharmaceutical Sciences Research Center, Health Institute, Kermanshah University of Medical Sciences, Kermanshah, Iran

Email:

derakhshankhah.hossein@kums.ac.ir

ABSTRACT

Introduction: Wound healing is crucial for improving patients' quality of life, especially in conditions like diabetes, burns, and surgical wounds. Fiber-based dressings with antioxidant and antibacterial agents, natural polymers, and zeolite nanoparticles accelerate healing and regeneration. The aim of this study was to design and fabricate nanofiber scaffolds based on polyvinyl alcohol (PVA), chitosan, and tragacanth gum, containing zeolite nanoparticles as wound dressings.

Materials & Methods: MT-type zeolite crystals with molecular dimensions and sizes ranging from approximately 10 to 20 nm were synthesized via a low-temperature hydrothermal method using colloidal precursors, without the need for organic templates. The physical and structural properties of the synthesized nanoparticles, including Fourier-transform infrared spectroscopy (FTIR) analysis, particle size distribution, and surface zeta potential, were characterized. Subsequently, nanofibers based on polyvinyl alcohol (PVA), chitosan (CS), and tragacanth gum (TG), incorporating the zeolite nanoparticles, were fabricated through electrospinning. The nanofibers were thoroughly evaluated for their physicochemical, structural, mechanical, cellular toxicity, antioxidant activity, and antibacterial performance.

Results: The characterization tests demonstrated that the nanofiber wound dressings containing zeolite nanoparticles exhibited superior properties compared to the control group without nanoparticles. These nanofibers showed enhanced performance in terms of morphology, fiber diameter, mechanical strength, swelling ratio, degradation rate, porosity, antioxidant activity, cellular biocompatibility, and antibacterial efficacy.

Conclusion: The results of this study demonstrated that nanofibers composed of polyvinyl alcohol (PVA), chitosan (CS), and tragacanth (TG) possess optimal physical and biological properties, creating a suitable environment to accelerate the wound healing process. The study suggests that the incorporation of EMT-type zeolite nanoparticles in PVA/CS/TG/EMT-ZIF nanofibers can enhance their antioxidant and antibacterial properties, making them promising for biomedical engineering applications.

Keywords: EMT-Type Zeolite, Nanofiber Wounds Dressing, Polyvinyl Alcohol, Tragacanth, Chitosan

Cite this paper: Mohammadpour M, Ghanbari H, Izadi Zh, Rezaee H, Derakhshankhah H. Synthesis and designing of nanofibers containing zeolitic nanozymes as a wound dressing. *Journal of Ilam University of Medical Sciences*. 2025;33(4):57-78.

Introduction

Wound healing is a dynamic and complex biological process that requires the integration of hemostasis, inflammation, cell proliferation, and tissue remodeling. Delayed wound healing,

commonly observed in patients with diabetes, severe burns, and surgical wounds, often results in prolonged hospitalization, infection, and impaired quality of life (1). Conventional dressings such as gauze primarily serve as protective covers but fail to provide the



biological cues necessary for tissue regeneration (1). Modern wound dressings, in contrast, are designed to actively participate in the healing process by maintaining an optimal moisture balance, preventing bacterial invasion, promoting angiogenesis, and supporting extracellular matrix (ECM)-like structures (4). Electro spun nanofibrous scaffolds are particularly attractive due to their high surface area, tunable porosity, and ability to mimic the native ECM, thereby supporting cell adhesion, proliferation, and differentiation (7). Natural polymers such as polyvinyl alcohol (PVA), chitosan (CS), and tragacanth gum (TG) are especially promising candidates for biomedical applications because of their biocompatibility, biodegradability, and hydrophilic nature (11). However, their functional performance can be further enhanced through the incorporation of bioactive nanoparticles. Zeolitic materials, in particular EMT-type zeolite, possess unique antioxidant and enzyme-mimicking (nanozyme) properties capable of scavenging reactive oxygen species (ROS) and alleviating oxidative stress at the wound site (13). Thus, the integration of EMT-type zeolite into nanofibrous scaffolds holds promise for developing multifunctional dressings with both mechanical robustness and bioactivity.

Methods

In this study, EMT-type zeolite nanocrystals (10–20 nm) were synthesized using a low-temperature hydrothermal method with colloidal precursors, eliminating the need for organic templates (13). Structural and physicochemical properties of the zeolite were characterized using Fourier-transform infrared spectroscopy (FTIR), dynamic light scattering (DLS), and zeta potential analysis. Subsequently, polymeric solutions of PVA, CS, and TG were prepared and blended at optimized ratios. EMT-type zeolite nanoparticles (5 wt% relative to the polymer weight) were uniformly dispersed in the polymer matrix, and nanofibers were fabricated via electrospinning under controlled parameters. The resulting scaffolds were crosslinked using glutaraldehyde vapor to enhance their stability. Comprehensive characterization was performed, including morphological analysis using scanning electron microscopy (SEM), mechanical strength via tensile testing, swelling and degradation assays, porosity evaluation, hemocompatibility, antioxidant capacity (DPPH assay),

antibacterial tests against *E. coli* and *S. aureus*, and cytocompatibility assessment using fibroblast cells through the MTT assay.

Results

SEM images revealed that neat PVA/CS/TG nanofibers displayed smooth surfaces and uniform diameters, while the incorporation of EMT-zeolite led to increased fiber diameters and rougher surfaces, indicating strong polymer–nanoparticle interactions. FTIR spectra confirmed the successful integration of zeolite without significant alteration of the polymer backbone, while DLS and zeta potential analysis verified nanoparticle stability. Mechanical testing demonstrated that PVA/CS/TG/EMT-ZIF nanofibers exhibited significantly enhanced tensile strength and modulus compared to control scaffolds, though at the expense of reduced elongation at break. Swelling studies showed rapid water uptake in the first hour, with equilibrium values of ~86–88%, while biodegradation analysis revealed slower degradation in zeolite-containing nanofibers (~78% mass loss over 21 days vs. ~97% in controls), suggesting improved stability and durability. Porosity was markedly higher in zeolite-incorporated scaffolds (~93%) compared to neat fibers (~86%), favoring nutrient diffusion and cell infiltration. Biological assays further confirmed the functionality of the scaffolds. Hemocompatibility studies showed <2% hemolysis in all samples, meeting ASTM standards. The DPPH assay indicated significantly improved antioxidant activity in PVA/CS/TG/EMT-ZIF fibers (~25% radical scavenging) compared to neat fibers (~7%), confirming the contribution of zeolite nanozymes. Cytocompatibility testing with fibroblasts demonstrated >86% cell viability, with zeolite-containing scaffolds supporting favorable cell proliferation. Interestingly, while antibacterial activity was limited in both neat and zeolite-loaded nanofibers, results suggest that further functionalization (e.g., antibiotic conjugation) may be necessary for robust antibacterial performance.

Conclusion

This study successfully demonstrated the design, fabrication, and evaluation of multifunctional nanofibrous wound dressings composed of PVA, CS, and TG integrated with EMT-type zeolite nanoparticles. The

incorporation of zeolite enhanced the physicochemical and mechanical stability of the fibers, improved porosity, and significantly increased antioxidant performance while maintaining excellent hemocompatibility and cytocompatibility. Although the antibacterial effect was modest, the scaffolds' antioxidant activity and structural properties suggest their strong potential for accelerating wound healing, particularly in oxidative stress-related conditions such as diabetic ulcers and chronic wounds. Overall, PVA/CS/TG/EMT-ZIF nanofibers represent a promising class of bioactive wound dressings with multifunctional therapeutic properties. Future studies may focus on combining zeolite with additional antimicrobial agents or bioactive molecules to develop synergistic platforms for advanced clinical wound management.

Authors' Contribution

Conceptualization, Methodology, Validation, Formal Analysis, Investigation, Resources, Software, Data Curation, Writing—Original Draft Preparation, Writing—Review & Editing, Visualization, Supervision, Project Administration: MM, HG, ZI, HR, HD.

Ethical Statement

This study was approved by the Ethics Committee of Kermanshah University of Medical Sciences (Iran). The authors avoided data fabrication, falsification, plagiarism, and misconduct.

Conflicts of Interest

The authors declare that there is no conflict of interest regarding the conduct of this study.

Funding

This research resulted from a project with number 990253 which carried out with the financial support of the Vice President for Research and Technology, Kermanshah University of Medical Sciences.

Acknowledgment

This article is derived from a research project and authors would like to sincerely thank the Deputy of Research and Technology of Kermanshah University of Medical Sciences for their financial support.

طراحی و ساخت نانوفیبرهای بر پایه پلیوینیل الکل، کیتوسان و کتیرا حاوی نانوذرات ژئولیت به عنوان زخمپوش

مehnaz محمدپور^۱, حامد قنبری^۲, ژیلا ایزدی^۲, هانیه رضایی^۴, حسین درخشانخواه^{*۳}

^۱ گروه شیمی، دانشکده علوم پایه، دانشگاه تربیت مدرس، تهران، ایران

^۲ گروه شیمی آلبی، دانشکده شیمی، دانشگاه رازی، کرمانشاه، ایران

^۳ مرکز تحقیقات علوم دارویی، پژوهشکده سلامت، دانشگاه علوم پزشکی کرمانشاه، کرمانشاه، ایران

^۴ کمیته تحقیقات دانشجویی، دانشگاه علوم پزشکی کرمانشاه، کرمانشاه، ایران

چکیده

اطلاعات مقاله

نوع مقاله: پژوهشی

تاریخ دریافت: ۱۴۰۴/۰۲/۱۳

تاریخ ویرایش: ۱۴۰۴/۰۴/۱۹

تاریخ پذیرش: ۱۴۰۴/۰۵/۲۹

تاریخ انتشار: ۱۴۰۴/۰۷/۰۵

مقدمه: بهبود سریع و مؤثر زخم برای بهبود کیفیت زندگی بیماران، بهویژه در شرایطی مانند دیابت، سوختگی و زخم‌های جراحی، بسیار مهم است. استفاده از پاسمندان‌های مبتنی بر فیبر حاوی عوامل آنتی‌اکسیدانی و ضدباکتریالی می‌تواند روند بهبود زخم را به طور چشمگیری تسريع کند. پلیمرهای طبیعی به علت زیست‌سازگاری، زیست‌تخریب‌پذیری و شباهت ساختاری با ماتریکس خارج سلولی (ECM)، کاندیداهای مناسبی برای درمان زخم‌های شدید در نظر گرفته می‌شوند. نانوذرات ژئولیت به سبب خواص آنتی‌اکسیدانی خود می‌توانند التهاب را کاهش دهند، رادیکال‌های آزاد را در محل زخم خنثی کنند و درنهایت، باعث بهبود سریع‌تر و بازسازی بافت پوست گردند. هدف از این مطالعه طراحی و ساخت داریستهای نانوفیبری بر پایه پلیوینیل الکل (PVA)، کیتوزان و صمغ کتیرا حاوی نانوذرات ژئولیت به عنوان پاسمنان زخم بود.

مواد و روش‌ها: کریستال‌های بسیار ریز ژئولیت نوع EMT با اندازه‌ای در حدود ۱۰-۲۰ نانومتر و با منافذی در ابعاد مولکولی، از طریق سنتز هیدروترمال در دمای پایین و با استفاده از پیش‌سازهای کلوئیدی بدون نیاز به قالب template- (free) تهیه شدند. ویژگی‌های فیزیکی و ساختاری نانوذرات سنتز شده از جمله FTIR، توزیع اندازه ذرات و پتانسیل زتاب سطحی بررسی گردید. پس از آن، نانواییاف‌هایی بر پایه پلیوینیل الکل (PVA)، کیتوسان (CS) و کتیرا (TG) حاوی نانوزولیت‌ها به روش الکترورسی تهیه شدند. در ادامه، خواص فیزیکوشیمیایی، ساختاری، استحکام مکانیکی، سمیت سلولی و همچنین فعالیت آنتی‌اکسیدانی و آنتی‌بакتریال این نانواییاف‌ها به طور دقیق ارزیابی گردید.

یافته‌های پژوهش: نتایج آزمون‌های مشخصه‌یابی نشان داد که زخمپوش‌های نانوفیبری حاوی نانوذرات ژئولیت، در مقایسه با گروه کنترل بدون این نانوذرات، از نظر ریخت‌شناسی، قطر الیاف، خواص مکانیکی، میزان تورم‌پذیری، سرعت تخریب‌پذیری، درصد تخلخل، فعالیت آنتی‌اکسیدانی، زیست‌سازگاری سلولی و همچنین توانایی سد کنندگی در برابر نفوذ باکتری‌ها، عملکرد مناسبی از خود نشان دادند.

بحث و نتیجه‌گیری: نتایج این پژوهش نشان داد که نانوفیبرهای تهیه شده بر پایه پلیوینیل الکل، کیتوسان و کتیرا، با داشتن ویژگی‌های فیزیکی و زیستی مطلوب، محبی‌مناسب برای تسريع فرایند ترمیم زخم فراهم می‌کنند. افزودن نانوزیمهای ژئولیتی به ساختار این زخمپوش‌ها، موجب بهبود چشمگیر خواص زیستی نظیر فعالیت آنتی‌اکسیدانی و آنتی‌بакتریالی شد. یافته‌های این مطالعه می‌تواند به عنوان گامی مؤثر در توسعه کاربردهای نانوفیبرهای PVA/CS/TG/EMT-ZIF در حوزه‌های مختلف مهندسی زیست مواد و بهویژه در طراحی و تولید زخمپوش‌های پیشرفته استفاده گردد.

واژه‌های کلیدی: زیولیت نوع EMT (EMT-type Zeolite), زخمپوش نانوفیبری، پلیوینیل الکل، کتیرا، کیتوسان

استناد: محمدپور مهناز، قنبری حامد، ایزدی ژیلا، رضایی هانیه، درخشانخواه حسین. طراحی و ساخت نانوفیبرهای بر پایه پلیوینیل الکل، کیتوسان و کتیرا حاوی نانوذرات ژئولیت به عنوان زخمپوش. مجله دانشگاه علوم پزشکی ایلام، مهر ۱۴۰۴؛ ۳۳(۴): ۷۸-۵۷.



مقدمه

سطح بالا، قابلیت تنظیم ساختار و خواص فیزیکی و زیستی و شباخت بالا به ECM، به یکی از پر کاربردترین رویکردهای روز دنیا تبدیل شده است.^(۴)^(۵)

روش الکتروریسی به عنوان تکنیکی کارآمد و قابل کنترل در تولید نانوالیاف، امکان تولید ساختارهای با قطر نانومتری، یکنواختی بالا و قابلیت لود و رهایش عوامل دارویی را فراهم می‌سازد. استفاده از نانوالیاف الکتروریسی شده در طراحی پاسمندان‌های زخم، به ویژه در درمان زخم‌های مزمن، به علت خواص منحصر به فردی چون قابلیت نفوذپذیری گاز، جذب بالا و رهایش کنترل شده دارو، بسیار مورد توجه قرار گرفته است.^(۶)^(۷)

در این پژوهش، با هدف توسعه زخم‌پوشی پیشرفته، از ترکیب پلیمرهای طبیعی پلی‌وینیل کل (PVA)، کیتوسان (CS) و کیمرا (TG) برای ساخت نانوفیرهایی زیست ساز گار و کارآمد استفاده شده است. PVA با زیست‌ساز گاری بالا، سمیت کم و ویژگی‌های مکانیکی مناسب، کاربرد گسترده‌ای در محصولات پزشکی دارد.^(۸)^(۹) کیتوسان نیز با خواص ضدباکتری، زیست‌تخربی‌پذیری و توانایی بالا در تقویت بازسازی بافت، به عنوان یکی از پلیمرهای کلیدی در مهندسی بافت شناخته می‌شود.^(۱۰) کثیرا به عنوان یک پلی‌ساقارید طبیعی، به بهبود خواص مکانیکی و هیدروفیلیک نانوالیاف کمک می‌کند.^(۱۱) همچنین برای ارتقای عملکرد آنتی‌اکسیدانی و ضدالتهابی پاسمنان، از نانوزیم‌های زئولیتی نوع EMT استفاده شده است. این نانومواد با ویژگی‌های آنزیم مانند و توانایی در حذف رادیکال‌های آزاد می‌توانند نقش مؤثری در کاهش استرس اکسیداتیو و تسريع ترمیم زخم ایفا کنند.^(۱۲) هدف این مطالعه طراحی، ساخت و ارزیابی نانوفیرهای زیست‌فعال چند جزئی بر پایه PVA/CS/TG حاوی نانوزئولیت‌ها است تا به عنوان داریستهای هوشمند و مؤثر در پاسمنان زخم‌های مزمن و دیابتی، گامی نو در مسیر توسعه فناوری‌های زیست‌پزشکی برداشته شود.

مواد و روش‌ها

سترنر زیولیت نوع EMT (EMT-type Zeolite)
سترنر نانو کریستال های زئولیت EMT ۱۰-۱۵

مهندسی بافت به عنوان یکی از شاخه‌های نوظهور و میان‌رشته‌ای علوم زیستی، پزشکی و مهندسی، نقش حیاتی در بازسازی بافت‌های آسیب‌دیده و جایگزینی عملکردی آنها ایفا می‌کند. این حوزه با بهره‌گیری از داریستهای زیستی، سلول‌ها و فاکتورهای رشد، در تلاش است تا محیط مناسبی برای بازسازی و بازارآفرینی عملکرد طبیعی بافت‌ها فراهم آورد. یکی از مهم‌ترین کاربردهای این علم، طراحی راهکارهای درمانی نوین برای زخم‌های مزمن، زخم‌های دیابتی و آسیب‌های پوستی شدید مانند سوختگی‌ها است که اغلب به درمان‌های طولانی‌مدت و چند مرحله‌ای نیاز دارند.
(۱). زخم‌ها به‌طور کلی به دو دسته حاد و مزمن تقسیم می‌شوند. زخم‌های حاد معمولاً طی فرایندی منظم شامل پنج مرحله انعقاد، التهاب، مهاجرت سلولی، تکثیر و بازسازی بافت، در یک بازه زمانی مشخص بهبود می‌یابند. در مقابل، زخم‌های مزمن در یکی از این مراحل متوقف می‌شوند و به علت اختلال در روند طبیعی ترمیم، به درمان‌های پیشرفته تر و تخصصی‌تری نیاز دارند. عوامل متعددی مانند دیابت، سن بالا، عفونت و کمبود اکسیژن در بافت می‌توانند به مزمن شدن زخم‌ها منجر شوند.^(۳) در گذشته، پاسمنان زخم عمده‌ای با هدف محافظت از زخم در برابر آلدگی و عوامل محیطی استفاده می‌شد؛ اما امروزه نقش پاسمنان‌ها به عنوان ابزارهای فعال در فرایند ترمیم زخم به خوبی شناخته شده است. پاسمنان‌های مدرن باید ویژگی‌هایی فراتر از پوشش ساده داشته باشند؛ از جمله توانایی حفظ رطوبت مناسب در محل زخم، تسهیل تبادل گازی، جلوگیری از ورود میکرووارگانیسم‌های بیماری‌زا، جذب ترشحات، خواص آنتی‌باکتریال، زیست‌ساز گاری، زیست‌تخربی‌پذیری و قابلیت آزادسازی تدریجی داروها و عوامل زیستی. در این میان، داریستهای متخلخل سه‌بعدی در مهندسی بافت پوست، به عنوان ساختارهایی شبیه به ماتریکس خارج سلولی Extracellular Matrix (ECM) یا (ECM)، نقش مهمی در پشتیبانی از چسبندگی، تکثیر و تمایز سلول‌های پوستی دارند. طراحی چنین داریستهایی با استفاده از نانوالیاف به علت مساحت

الکل (PVA) در آب مقطر آماده گردید شد و به مدت ۲۴ ساعت در دمای ۶۰ درجه سانتی گرادسانتی گراد تحت همزدهنم زدن مداوم قرار گرفت تا اتحلال کامل و یکنواختی حاصل شود. در مرحله يه بعد، محلول ۳ درصد وزنی حجمی کیتوسان (CS) در اسید استیک با غلظت ۱ درصد حجمی تهیه شدته بیه و به مدت یک ساعت در دمای محیط هم زده شد تا محلولی همگن حاصل شود. همچنین، همچنین محلول ۱ درصد وزنی حجمی کثیرا (TG) نیز در آب مقطر تهیه شدته بیه گردید و به مدت ۲۴ ساعت در دمای محیط تحت همزدهنم زدن قرار گرفت.

پس از آماده سازی محلول های محلول های مجزا، آنها با نسبت حجمی ۵/۱ به ۵/۲ با یکدیگر ترکیب شده ترکیب و به مدت یک ساعت در دمای محیط هم زده شدند تا محلولی یکنواخت و مناسب برای الکتروریسی حاصل شود. برای تهیه نمونه های حاوی نانوذرات زئولیتی، نانوزیم های زئولیتی نوع EMT-ZIF که پیشتر سنتز شده بودند، با غلظت ۵ درصد وزنی نسبت به وزن کل پلیمرها، به محلول ترکیبی اضافه گردیدند. فرآیند فرایند ترکیب در دمای محیط و با همزدهنم زدن شدید به مدت یک ساعت ادامه یافت تا توزیع یکنواخت ذرات در ماتریس پلیمری تضمین شود.

در ادامه، فرآیند فرایند الکتروریسی به منظور تولید نانوالياف انجام شد. در این فرآیند فرایند، محلول پلیمری آماده شده با نرخ تغذیه ۵/۰.۵ میلی لیتر بر ساعت، از طریق نیدل ۱۸ گیج تحت ولتاژ ۱۴ کیلوولت به اسپینرت منتقل گردیدند. نانوالياف تشکیل شده روی فویل آلومینیومی که در فاصله ۱۴ سانتی متری از نوک نیدل قرار داشت، جمع آوری گردیدند. این شرایط به گونه ایه گونه ای طراحی گردید شدند که تولید نانوالياف یکنواخت با خواص ساختاری مناسب جهت برای استفاده در زخم پوش ها تسهیل گردد شود. در نهایت در نهایت، برای کراس-لینک کردن نانوالياف، آنها آنها را به مدت ۲۴ ساعت در دمای ۵۰ درجه سانتی گرادسانتی گراد، در معرض بخارات گلو تار آلدھید با غلظت ۲۰ درصد حجمی قرار گرفتند.

نانومتر) با منافذ بزرگ از پیش سازه های کلوبیدی فاقد fn,k الگو در دمای ۳۰ درجه سانتی گرادسانتی گراد با بازدهی بالا صورت گرفت. ابتدا محلول آلومینات با حل کردن ۹/۰۷۴ گرم سدیم آلومینات (مرک آلمان) و ۱/۶۱ گرم گرم سدیم هیدروکساید (قطران شیمی ایران) در ۱۰ گرم آب دو بار تقطیر تهیه شد؛ بعد سپس ۴۴ گرم سدیم هیدروکساید به محلول اضافه شد گردید ((محلول A). از طرف سوی دیگر، محلول سیلیکات با مخلوط کردن ۵۷/۶۹۲ گرم از سدیم سیلیکات (مرک آلمان)، ۲۰ گرم سدیم هیدروکساید و ۸۰ گرم آب دو بار تقطیر در یک بطری ۲۵۰ میلی لیتر میلی لیتر تهیه شد. محلول اخیر تا به دست به دست آمدن یک محلول شفاف استریل می شود (محلول B).

محلول های محلول های A و B در یک حمام بین (۴ درجه سانتی گرادسانتی گراد) سرد شدند گردیدند. محلول A را تحت شرایط استریل ملایم به محلول B اضافه شد ، و یک محلول کدر با ترکیب موکی تشکیل داد. Al2O3:5.15SiO2:18.45Na2O:240H2O۱ سوسپانسیون حاصل به مدت ۵ دقیقه استریل گردید؛ شد سپس در ۳۰ درجه سانتی گراد به مدت ۳۶ ساعت کریستالی شد. نانو کریستال های EMT به مدت ۱ ساعت با سرعت ۲۰۰۰۰ دور بر دقیقه سانتریفیوژ گردید شد و زئولیت های خالص EMT در آب دو بار تقطیر مجدداً سوسپانسیون شدند. این مرحله خالص سازی خالص سازی به مدت چندین بار تکرار می شود تا pH سوسپانسیون از شرایط قلیابی به pH ختی بر سر (۱۳). توزیع اندازه ذرات با استفاده از اندازه گیری اندازه گیری پراکندگی نوری دینامیکی (DLS) و پتانسیل زتا ژئولیت سنتز شده در ۲۵ درجه سانتی گراد با استفاده از دستگاه Zetasizer Nano ZS90, Malvern (Instruments, Malvern, UK) اندازه گیری اندازه گیری شد.

تهیه محلول نانوالياف PVA/CS/TG و PVA/CS/TG/EMT-ZIF و فرآیند الکتروریسی:

برای تهیه يه محلول پایه يه پلیمری جهت به منظور تولید نانوالياف، ابتدا محلول ۱۰ درصد وزنی حجمی پلی وینیل

نمونه ۳ بار تکرار انجام شد. تا زمان ثابت شدن جذب آب، وزن گیری نمونه‌ها ادامه یافت. محاسبه میزان جذب آب طبق بر اساس رابطه زیر انجام گردید (۱۴):

$$\text{Swelling Ration}(\%) = \frac{W_s - W_0}{W_0} \times 100 \quad \text{Eq. 1}$$

ازرسایی زیست تخریب پذیری:

برای بررسی نرخ تخریب پذیری (Biodegradation) هر یک از نانوآلیاف تهیه شده، ابتدا هر یک از آن‌ها آنها توزین شده و با غوطه و رسانی غوطه و رسانی در PBS و انکوبه کردن در دمای ۳۷ درجه سانتی گراد سانتی گراد بررسی گردیدند. سپس در زمان‌های ۲۱، ۱۴، ۷، ۳ و روز، نمونه‌ها از بافر خارج شده و پس از خشک شدن کامل PBS اضافی در آون، مجدداً توزین گردیدند. نرخ تخریب در هر نقطه زمانی با محاسبه درصد کاهش وزن نمونه‌ها گزارش می‌شود. این تست آزمایش برای هر قطعه ۳ بار تکرار گردیدند. رابطه زیر برای محاسبه میزان کاهش وزن نمونه‌ها استفاده شد:

$$\text{Weight loss}(\%) = \frac{W_i - W_t}{W_i} \times 100 \quad \text{Eq. 2}$$

در این رابطه، W_i و W_t به ترتیب ترتیب وزن اولیه هر یک از نانوآلیاف‌ها را قبل پیش و بعد پس از تخریب نشان می‌دهند.

ازرسایی تخلخل:

یکی از آنالیزهای داربست‌های مورد استفاده شده در مهندسی بافت، اندازه گیری قطر تخلخل داربست است. تخلخل نانوآلیاف الکترونیکی شده بر اساس تکنیک جابجاپی مایع اندازه گیری گردیدند. به طوره طور خلاصه، نانوآلیاف تهیه شده با وزن برابر در یک ظرف حاوی حجم مشخص اتانول غوطه ور شدند تا اشباع شوند. تخلخل از رابطه زیر محاسبه گردید:

$$\text{Porosity}(\%) = \frac{V_1 - V_3}{V_2 - V_3} \times 100 \quad \text{Eq. 3}$$

در این رابطه، V_1 حجم اولیه ظرف حاوی اتانول، V_2 حجم حاصل از غوطه وری نانوآلیاف در اتانول و V_3 حجم اتانول باقیمانده پس از خارج کردن نانوآلیاف استمی باشد.

بررسی قطره و مورفولوژی نانوآلیاف تهیه شده به کمک میکروسکوپ الکترونی روشنی (SEM):

برای بررسی مورفولوژی، ساختار و قطر نانوآلیاف تهیه شده از میکروسکوپ الکترونی PhilipsXL-30, Germany نانوآلیاف برای تهیه تصاویر SEM برش داده شدند. سپس، نمونه با طلا پوشانده شده و بر روی پایه نگهدارنده نمونه در میکروسکوپ قرار گرفت. در نهایت در نهایت در نهایت استفاده از پرتوهای الکترونی با انرژی بالا، تصاویری باوضوح بالا از سطح نمونه تهیه گردیدند.

بررسی ساختار شیمیایی نانوآلیاف تهیه شده از طریق (FTIR):

از طیف‌سنجی FTIR توسط دستگاه اسپکتروسکوپی Spectrum RX1 FTIR مادون‌قرمز مادون قرمز system، Perkin-Elmer، USA نانوآلیاف و EMT-ZIF تهیه شده در محدوده ۴۰۰۰ – ۴۰۰ cm⁻¹ استفاده شد. بررسی موقعیت پیک‌های مختلف در طیف FTIR اطلاعات ارزشمندی درباره مورد گروه‌های عاملی، نوع پیوندها و ساختار نانوآلیاف ارائه می‌دهد.

ازرسایی خواص مکانیکی:

این تست توسط دستگاه تانسیومتر STM-1 DBBP-(KOREA) و در شرایط ثابت دمایی با سرعت کشش ثابت انجام می‌گیرد. از هر نانوآلیاف ۶ سه قطعه به ابعاد ۲×۱ سانتی‌متر سانتی‌متر برش داده شد. اندازه گیریاندازه گیری در سه تکرار انجام گردیدند.

اندازه گیری میزان تورم پذیری‌تورم پذیری:

به منظور به منظور اندازه گیری رفتار تورم پذیری‌تورم پذیری (Swelling)، هر کدامه کدام از نانوآلیاف‌های تهیه شده، نانوآلیاف پلیمری را در سایز مناسب برش داده شد؛ سپس با ترازو دقت بالا وزن گردید نموده و در ۵ میلی‌لیتر بافر PBS غوطه ور غوطه ور شد (W0). در فواصل زمانی ۰/۵، ۱، ۳، ۶، ۱۲ و ۲۴ ساعت، هر یک از نمونه‌ها را از بافر خارج گردید و با استفاده از کاغذ صافی، قطرات سطح آن‌ها آنها برداشته شد و مجدداً وزن گردید (Ws). برای هر

ارزیابی خونسازگاری:

برای ارزیابی میزان همولیز ناشی از تماس نانوفیرها با گلوبول‌های قرمز خون، از خون تازه‌هه انسانی در لوله‌یه حاوی ماده‌یه ضدانعقاد (EDTA) استفاده شد. مقدار ۲ میلی‌لیتر از این خون تازه با ۲/۵ ۲/۵ میلی‌لیتر بافر فسفات سالین (PBS) با pH حدود ۷/۴ به آرامیه آرامی رقیق گردید؛شد. سپس نمونه‌های نانوفیر که به صورت دیسک‌های کوچک پانچ شده بودند، درون میکروتیوب‌های استریل قرار داده شدند. به هر میکروتیوب، مقدار ۲۰۰ میکرولیتر از خون رقیق شده اضافه گردید. نمونه‌ها به مدت ۶۰ دقیقه در دمای ثابت ۳۷ درجه‌ه سانتی‌گراد در انکوباتور قرار گرفتند تا تعامل بین میان نانوفیرها و گلوبول‌های قرمز خون به طور کامل رخ دهد. پس از گذشت زمان انکوباسیون، تمامی همه میکروتیوب‌ها به مدت ۱۰ دقیقه در سانتریفیوژ با سرعت ۱۵۰۰ دور در دقیقه قرار گرفتند تا سلول‌های خون رسوب کندرسوب کرده و مایع رویی جدا شود؛ سپس میزان جذب نوری مایع رویی در طول موج ۵۴۵ نانومتر، که حداقل جذب هموگلوبین آزاد را نشان می‌دهد، با استفاده از دستگاه میکروپلیت ریدر اندازه گیری شد. در نهایت، برای تعیین درصد همولیز، از داده‌های جذب نوری و با بهره گیری از معادله‌یه شماره معادله ۴، که بر پایه‌یه مقایسه جذب نمونه با کترل مثبت (آب مقطّر) و کترل منفی (PBS تنها) تعریف شده تعریف شده است، مقدار نهایی همولیز برای هر نمونه محاسبه گردید (۱۵):

$$\text{Hemolysis}(\%) = \frac{A_{\text{S}} - A_{\text{NC}}}{A_{\text{PC}} - A_{\text{NC}}} \times 100 \quad \text{Eq. 4}$$

در این رابطه، A_{S} جذب نمونه، A_{NC} جذب کترل منفی و A_{PC} جذب کترل مثبت استمی باشد.

DPPH مهار:

نانوالیاف الکتروریسی شده را در قطعات یکسان برش زده شد و به آن ۱۰۰۰ میکرولیتر DPPH تهیه شده افزوده گردید و به مدت ۳۰ دقیقه در تاریکی و در دمای محیط قرار گرفتند و سپس جذب نمونه‌ها به همراه کترل در طول موج طول موج ۵۱۷ نانومتر توسط دستگاه اسپکتروفوتومتر اندازه گیری شد. درجه بی رنگ شدن این ترکیب

بیان کننده‌گر قدرت به دام اندازی رادیکال آزاد توسط آنتی‌اکسیدان مربوطه استمی باشد. لازم به ذکر است که برای محاسبه میزان فعالیت آنتی‌اکسیدانی از فرمول زیر استفاده گردید:

$$\text{DPPH Scavenging}(\%) = \frac{A_{\text{b}} - A_{\text{s}}}{A_{\text{b}}} \times 100 \quad \text{Eq. 5}$$

در این رابطه، A_{b} جذب کترل و A_{s} جذب نمونه استمی باشد.

بررسی خواص آنتی‌باکتریالی:

برای انجام تست‌های میکروبی از باکتری اشتبشیکلیاشریشیا کلی (ATCC:25923) از انتیتو پاستور ایران، به عنوانه عنوان مدل نمونه و نماینده میکرووارگانیسم‌های گرم منفی و باکتری استافیلوکوکوس اورئوس (ATCC:25922) به عنوانه عنوان مدل نمونه و نماینده میکرووارگانیسم‌های گرم مثبت استفاده شد که از مرکز کلکسیون میکرووارگانیسم‌های صنعتی ایران تهیه گردیدندشدن. برای کشت هر یک از این میکرووارگانیسم‌ها از محیط کشت اختصاصی آن‌ها، آنها یعنی مولر هیتون براث و مولر هیتون آگار استفاده گردیدند. ارزیابی فعالیت آنتی‌باکتریایی هر یک از نانوالیاف الکتروریسی شده به روش دیسک گذاری انجام گردیدند. در ابتدا میکرووارگانیسم‌ها در محیط کشت اختصاصی خود به مدت یک شب‌روز شبانه روز در دمای ۳۷ درجه سانتی‌گراد می‌گردند. پس از ۶ کشت داده شدن و سپس با سوپ استریل، از سوسپانسیون هر یک از باکتری‌ها معادل ۰/۵ مک‌فارلند به صورت مجرا بر روی پلیت محیط کشت اختصاصی جامد به صورت مجرا بر یکنواخت و همگن کشت گردیدند. دیسک‌ها را بر روی پلیت حاوی باکتری در فواصل معین و مساوی کاشته و به مدت ۲۴ ساعت در دمای ۳۷ درجه سانتی‌گراد انکوبه شدند و قطر عدم رشد با کولیس اندازه گیری و گزارش گردید. برای کترل مثبت از دیسک حاوی جتنامايسین استفاده شد.

بررسی میزان زیست‌سازگاری بر روی سلول‌های فیبروبلاست انسانی:

رده سلول‌های فیبروبلاست انسانی که از نوع چسبنده

اندازه گیری جذب نوری توسط الایزاریدر در طول موج nm 570 انجام گردید. شانس زنده ماندن سلول با استفاده از فرمول زیر محاسبه گردید:

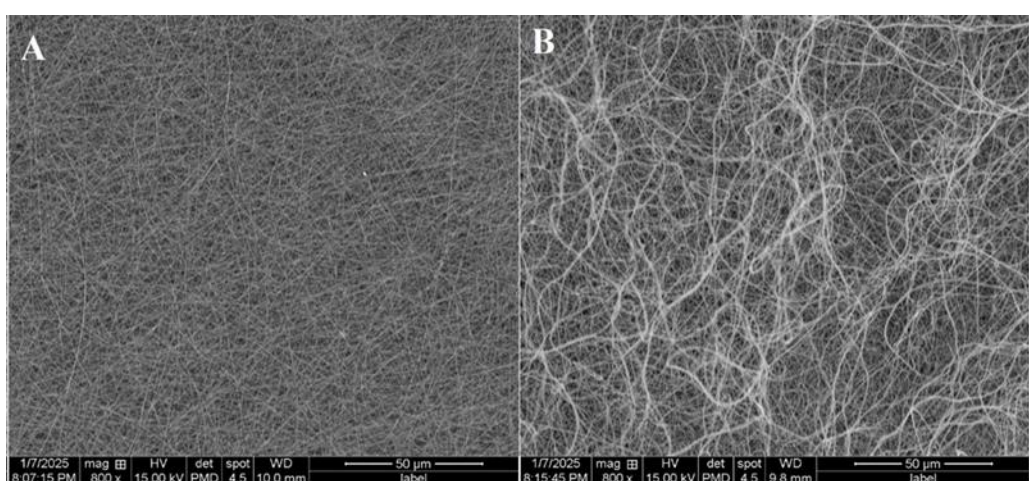
$$\text{Cell Viability}(\%) = \frac{A_s}{A_c} \times 100 \quad \text{Eq. 6}$$

در این رابطه، A_s و A_c به ترتیب جذب نمونه و کنترل است.

یافته‌های پژوهش

بررسی مورفولوژی نانوفیرهای:

برای تحلیل مورفولوژی ریزساختار نانوفیرها، تصاویر میکروسکوپ الکترونی رویشی (SEM) تهیه شد (شکل شماره ۱). نانوفیرهای PVA/CS/TG بدون حضور زئولیت (ZIF-EMT) مورفولوژی منظم، جهت گیری مستقیم، سطحی صاف و توزیع اندازه یکنواختی داشتند. این نتایج نشان می‌دهد که غلظت‌های انتخاب شده از گرانروی مناسبی برخوردار بودند و زنجیره‌های پلیمری در گیرشدگی مؤثری با یکدیگر داشته‌اند، به طوری که از تشکیل دانه یا گره درون فیرها جلوگیری شده است. با افودن نانوذرات زئولیت، نانوفیرها سطحی ناهموارتر و جهت گیری تصادفی تر و نامنظم‌تری پیدا کردند؛ همچنین قطر نانوفیرها افزایش یافت که احتمالاً ناشی از افزایش ویسکوزیتۀ محلول بر اثر ترکیب شدن با زئولیت است (۱۴).



شکل شماره ۱. تصویر SEM نانوفیرهای PVA/CS/TG/ZIF. A. بدون زئولیت با سطح صاف و جهت گیری مستقیم و بوده از مرکز ذخایر زیستی و ژنتیکی ایران خریداری گردید و در محیط کشت آمده و استریل DMEM-F12 با غلظت ۱۰ درصد سرم در فلاسک کشت سلول T25 کشت داده شدадه شده و به انکوباتور با هوای مرطوب و سطح CO₂ ۵٪ و دمای ۳۷ درجه سانتی گراد منقل گردید. برای کشت سلول‌ها معمولاً به محیط کشت آن‌ها آنها آنتی‌بیوتیک mg/ml ۱۰۰ u/ml و استرپتومایسین ۱۰۰ mg/ml با غلظت ۱ درصد نسبت به محیط کشت، یه منظور جلوگیری از رشد باکتری‌ها افزوده شد. همچنین سرم FBS به میزان موردنیاز مورد نیاز که به طور معمول طور معمول ۱۰ درصد محیط است، اضافه گردید. به منظور به منظور انجام رنگ سنجی MTT، تعداد ۵۰۰۰ سلول در هر چاهک پلیت ۹۶ خانه‌ای کاشته شد. محیط کشت روی هر چاهک پلیت پس از ۲۴ ساعت تیمار خارج گردید و چاهک‌ها با DMEM-F12 حاوی حجم‌های مختلف از عصاره ۶-ها با عصاره حاصل از قطعات برش خورده هر یک از نانوالیاف ۶-ها پر شد؛ سپس به مدت ۲۴ ساعت انکوبه گردیدند.؛ بعد محیط قبلی با ۱۰۰ میکرولیتر محیط جدید حاوی MTT با غلظت ۵/۰ mg/ml جایگزین و به مدت ۳ ساعت دیگر در انکوباتور انکوبه گردیدند. در پایان، این محلول نیز از چاهک تخلیه گردید تخلیه شده و کریستال‌های فورمازان تشکیل شده شکل شده با ۱۰۰ میکرولیتر حلال DMSO پیتاژ و حل شد. پس از ۱۵ دقیقه انکوباسیون،

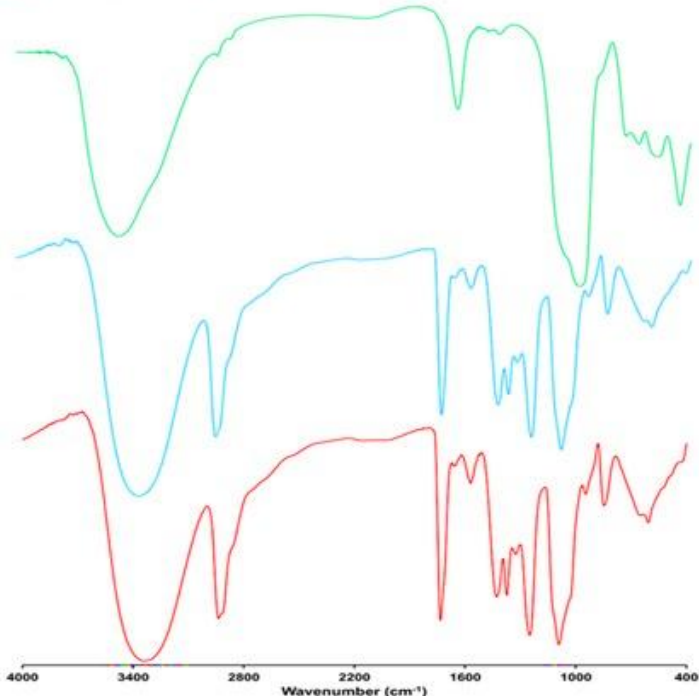
B. PVA/CS/TG نانوفیرهای با سطح ناهموار و جهت گیری نامنظم آن‌ها مشهود است

موجود در ناحیه cm^{-1} ۱۱۰۰-۱۳۰۰ مربوط به ارتعاشات کششی C-O-C پلی‌ساقاریدهای موجود در کتیرا و PVA است (۱۵، ۱۸، ۱۹). در نانوالیاف ZIF-EMT طیف FTIR ترکیبی از پیک‌ها را از اجزای پلیمری و زئولیت نشان می‌دهد. حضور زئولیت با پیک‌های شاخص نشان داده می‌شود. با این حال، شدت آن‌ها اغلب به علت همپوشانی با پیک‌های پلیمری کاهش می‌یابد. گروه‌های عاملی پلیمرها در طیف مشهود باقی می‌مانند که نشان‌دهنده ادغام موافقیت آمیز زئولیت بدون تغییر شیمیایی قابل توجه پلیمرها است. پیک‌های همپوشانی از هر دو حوزه به ویژگی‌های طیفی منجر می‌گردد که برهم‌کنش میان زئولیت و اجزای پلیمری را با تغییرات قابل مشاهده و تغییرات در شدت پیک منعکس می‌کند (۱۹، ۱۶، ۱۳).

نتایج DLS نشان داد که نانوذرات ZIF-EMT اندازه حدود ۱/۱ میکرومتر و پتانسیل زتای -۳۴/۷ میلی‌ولت با موافقیت ستر شدند (شکل شماره ۲. ب). این ویژگی نشان‌دهنده پایداری کلوئیدی و پراکنده‌گی خوب ذرات است. مقدار پتانسیل زتای منفی نشان‌دهنده ذرات با بر سطحی منفی است که نقش مهمی در برهم‌کنش آن‌ها با پروتئین‌های پلاسمای انسانی ایفا کند (۱۲، ۱۸، ۱۶، ۱۳).

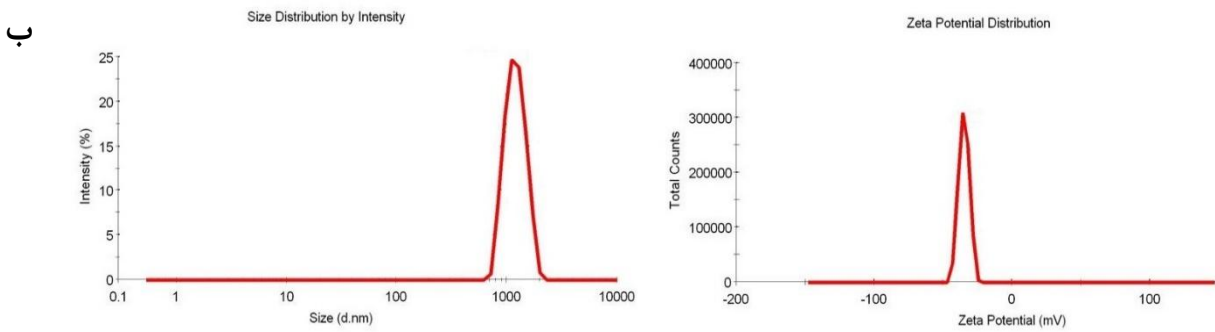
الف

■ ZIF-EMT ■ PVA/CS/TG ■ PVA/CS/TG/ZIF-EMT



طیف سنجی FTIR، توزیع اندازه ذرات (DLS) و پتانسیل زتا:

طیف FTIR زئولیت‌ها که مواد معدنی آلومینوسیلیکات هیدراته هستند، پیک‌های متمایز مربوط به حالت‌های ارتعاشی مختلف پیوندهای Si-O و Al-O را نشان می‌دهند. در شکل شماره ۲. الف، به طور خاص برای ZIF-EMT ارتعاشات خمثی پیوندهای Si-O و Al-O در ناحیه ۴۵۰-۵۰۰ cm^{-1} مشاهده می‌شود. ارتعاشات کششی گروه هیدروکسیل (OH) به صورت پیک پهن در ناحیه ۳۰۰۰-۳۶۰۰ cm^{-1} ظاهر می‌گردد. علاوه بر این، ارتعاشات خمثی مولکول‌های آب جذب شده پیک‌هایی در ناحیه ۱۶۵۰-۱۶۰۰ cm^{-1} ایجاد می‌کند. پیک پهن و تیز در ناحیه ۹۰۰-۱۲۰۰ cm^{-1} نشان‌دهنده ارتعاشات کششی Si-O-Si و Si-O-Al هستند که با هم ادغام شده‌اند (۱۳، ۱۶، ۱۷). برای نانوالیاف PVA/CS/TG، طیف FTIR پیک پهنی در ناحیه ۳۰۰۰-۳۶۰۰ cm^{-1} دارد که به ارتعاشات کششی H-O-H و N-H نسبت داده می‌شود. یک پیک تیز در ناحیه ۲۹۳۳ cm^{-1} به ارتعاشات کششی C-H اختصاص داده شده است. باندهای آمید I و II کیتوزان با پیک‌های شاخص در ناحیه ۱۶۵۶ و ۱۵۷۵ cm^{-1} مشخص می‌شوند. پیک‌های



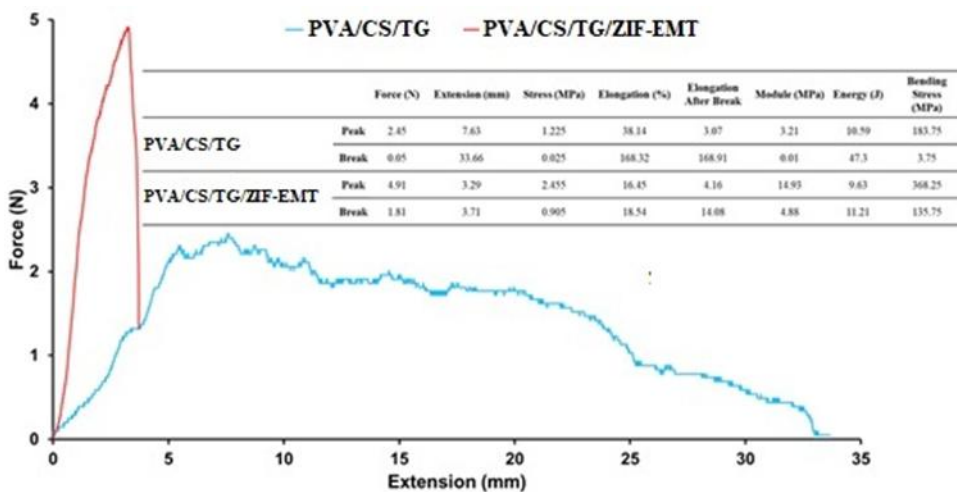
شکل شماره ۲. الف. طیف FTIR زیولیت PVA/CS/TG/ZIF-EMT، نانوپیرینگ ZIF-EMT؛ **ب.** توزیع اندازه ذرات و پتانسیل زتا

EMT به طور محسوسی کاهش یافت که بیان کننده کاهش شکل پذیری و افزایش پایداری ابعادی تحت بارگذاری است. نتایج آزمون خمثی نیز این روند را تأیید می کند، به طوری که نانوالیاف PVA/CS/TG/ZIF-EMT تنفس خمثی ۳۶۸/۲۵ مگاپاسکال را نشان دادند، در حالی که این مقدار برای نانوالیاف TG PVA/CS/TG برابر با ۱۸۳/۵۷ مگاپاسکال بود. این افزایش تقریبی دو برابری در تنفس خمثی، بر ارتقای ZIF-EMT یکپارچگی ساختاری ناشی از حضور چارچوب ZIF-EMT دلالت دارد. از منظر رفتار کشش-نیرو، نانوالیاف PVA/CS/TG نشان دهنده افزایش تدریجی نیرو با تغییر طول و به دنبال آن، منطقه‌ای با تغییر شکل پلاستیک طولانی بودند، در حالی که نانوالیاف PVA/CS/TG/ZIF-EMT PVA شیب اولیه تندتری را ارائه دادند که حاکی از سختی بالاتر و شکست ناگهانی تر است (۲۳).

به طور کلی، نتایج نشان می دهد که گنجاندن ZIF-EMT در ماتریس PVA/CS/TG به طور فراوانی ویژگی های مکانیکی نانوالیاف را تغییر می دهد و آنها را از ماده ای انعطاف پذیر و کم استحکام به یک کامپوزیت سخت تر و مقاوم تر با ظرفیت باربری بالاتر تبدیل می کند. این تغییرات را می توان به ساختار صلب ذرات ZIF-EMT و برهم کنش های احتمالی آنها با زنجیره های پلیمری شامل پیوندهای هیدروژنی و درهم تندگی های فیزیکی نسبت داد. این یافته ها بر پتانسیل نانوالیاف PVA/CS/TG/ZIF-EMT کاربردهایی تأکید می کند که به عملکرد مکانیکی پیشرفت نیاز دارند (۲۴).

ارزیابی خواص مکانیکی:

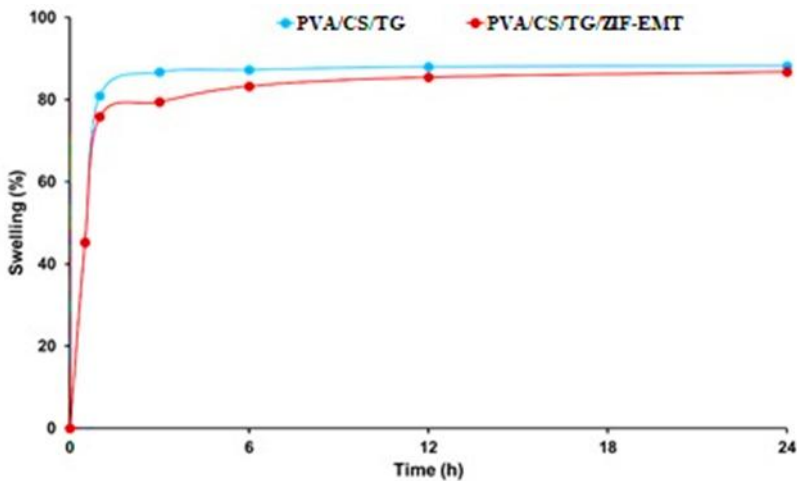
خواص مکانیکی نانوالیاف سنتز شده از طریق آزمون کشش ارزیابی گردید. منحنی های نیرو کشش و مؤلفه های مکانیکی استخراج شده رفتارهای متمایزی را برای هر ترکیب نانوالیاف نشان می دهند (شکل شماره ۳). نانوالیاف PVA/CS/TG حداقل نیروی ۲/۴۵ نیوتون را در تغییر طول ۷/۶۳ میلی متر تجربه کردند که متناظر با تنشی برابر با ۱/۲۲۵ مگاپاسکال و از دیاد طول ۳۸/۱۴ درصد بود. این نانوالیاف ها شکل پذیری قابل توجهی از خود نشان دادند، به طوری که از دیاد طول در شکست به ۱۶۸/۳۲ درصد و از دیاد طول پس از شکست به ۱۶۸/۹۱ درصد رسید. با این حال، مدول کششی این نمونه نسبتاً پایین و برابر با ۳/۲۱ مگاپاسکال اندازه گیری شد که حاکی از ساختاری نرم تر و انعطاف پذیر تر است. میزان انرژی جذب شده تا لحظه شکست نیز ۳/۴۷ ژول محاسبه گردید که نشان دهنده چقرمگی متوسط نانوالیاف است (۲۲). در مقابل، نانوالیاف PVA/CS/TG/ZIF-EMT رفتار مکانیکی بهبود یافته ای نشان داد. این نمونه نیروی حداقل ۴/۹۱ نیوتون را در طول تغییر شکل ۳/۲۹ میلی متر تحمل کرد که متناظر با تنشی برابر با ۲/۴۵۵ مگاپاسکال بود؛ هر چند از دیاد طول متناظر در اوج تنها ۱۶/۴۵ درصد ثبت شد. همان طور که در شکل شماره ۳ مشاهده می شود، افزودن ZIF-EMT موجب افزایش چشمگیر سختی نانوالیاف شده است، به طوری که مدول کششی به ۱۴/۹۳ مگاپاسکال افزایش یافت. از دیاد طول در شکست (۱۸/۵۴ درصد) و پس از شکست ZIF-EMT (۱۴/۰۸ درصد) در این نمونه نسبت به نانوالیاف بدون



شکل شماره ۳. منحنی اندازه-گیری کشش مکانیکی نانویاف PVA/CS/TG/ZIF-EMT در مقایسه با نانویاف بدون ZIF-EMT

ساعت به ۷۵/۸۶ درصد رسید و پس از ۲۴ ساعت، به ۸۶/۷۶ درصد افزایش یافت. این نتایج نشان می‌دهد که افزودن ZIF-EMT به ماتریس نانویاف باعث تغییر ویژگی‌های جذب آب شده است. هر دو نوع نانویاف طی ۲۴ ساعت، به حالت تورم تعادلی دست یافتند؛ اما نمونه‌های حاوی ZIF-EMT پروفایل جذب آب کنترل شده‌تر و یکنواخت‌تری را ارائه کردند. این رفتار می‌تواند به تأثیر ترکیب آبدوستی و آب‌گیری ناشی از حضور چارچوب ZIF-EMT نسبت داده شود که احتمالاً بر سازوکار تخلخل و میزان نگهداری آب در ساختار نانویاف اثر می‌گذارد (۲۵، ۲۶). به طور کلی، رفتار تورم مشاهده شده نشان می‌دهد که نانویاف PVA/CS/TG برای کاربردهایی مناسب‌ترند که نیازمند جذب سریع و ظرفیت بالای آب هستند، در حالی که نانویاف PVA/CS/TG/ZIF-EMT می‌توانند در کاربردهایی که مدیریت پایدار و کنترل شده رطوبت مدنظر است، مزیت ایجاد کنند.

اندازه-گیری میزان تورم پذیری: سیستمک جذب آب نانویاف PVA/CS/TG و PVA/CS/TG/ZIF-EMT ساخته شده، از طریق آزمون تورم پذیری طی یک دوره ۲۴ ساعته، در شکل شماره ۴ ارائه شده است. هر دو ترکیب، نانویاف در ۳۰ دقیقه ابتدایی جذب آب سریعی را نشان دادند، به طوری که درصد تورم اولیه برای نانویاف PVA/CS/TG/ZIF-EMT و PVA/CS/TG به ترتیب برابر با ۴۵/۱۵ و ۴۵/۳۴ درصد بود. با این حال، با افزایش زمان غوطه‌وری، تفاوت‌هایی در روند جذب آب میان دو نمونه آشکار شد. نانویاف‌های PVA/CS/TG ظرفیت جذب آب بالاتر را در طول آزمایش حفظ کردند. در یک ساعت نخست، میزان تورم به طور چشمگیری افزایش یافت و به ۸۰/۹۹ درصد رسید و سپس روند جذب به صورت تدریجی ادامه یافت تا در پایان ۲۴ ساعت، به ۸۸/۲۶ درصد برسد. در مقابل، نانویاف PVA/CS/TG/ZIF-EMT نرخ جذب آب ملایم‌تری را نشان دادند، به طوری که میزان تورم آن‌ها در یک

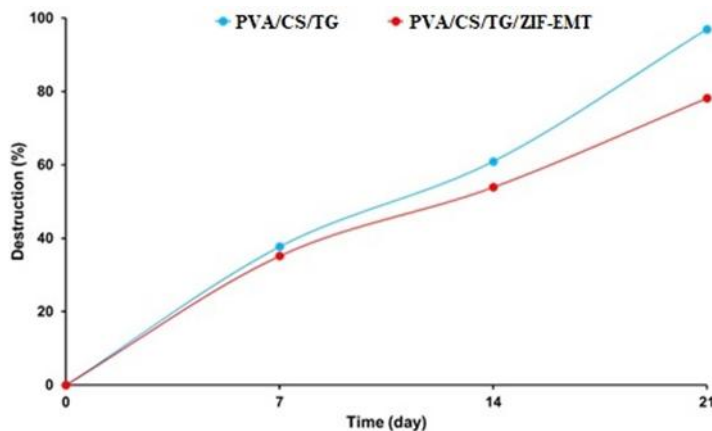


شکل شماره ۴. نمودار رفتار تورم پذیری نانوالیاف های ساخته شده طی ۲۴ ساعت غوطه ور شدن در بافر PBS

چشمگیری پایداری ساختاری و طول عمر مواد را افزایش می دهد. این ویژگی می تواند در کاربردهایی که به نرخ تخریب کنترل شده نیاز دارند؛ مانند سامانه های دارورسانی، مهندسی بافت یا پروژه های زیست محیطی با دوره های عملکرد مشخص، بسیار سودمند باشد. به نظر می رسد اختلاط ZIF-EMT در ماتریس PVA/CS/TG مقاومت نانوالیاف را در برابر تخریب هیدرولیتیک در محیط آبی افزایش داده است. این پدیده احتمالاً ناشی از تخلخل ذاتی چارچوب ZIF-EMT و برهم کنش های فیزیکی یا شیمیایی آن با زنجیره های پلیمری است که به تشکیل شبکه ای قوی تر و پایدارتر منجر شده است. کند شدن روند تخریب نانوالیاف PVA/CS/TG/ZIF-EMT بر مناسب بودن آنها برای کاربردهایی دلالت دارد که نیازمند حفظ یکپارچگی ساختاری طولانی مدت در شرایط فیزیولوژیکی هستند. در مقابل، تخریب سریع نانوالیاف PVA/CS/TG آنها را به گزینه ای ایدئال برای استفاده در کاربردهای کوتاه مدت زیست پزشکی یا به عنوان مواد زیست تخریب پذیر سریع در زمینه های زیست محیطی تبدیل می کند (۲۷). در مجموع، تفاوت آشکار در رفتار تخریب میان این دو نوع نانوالیاف، نقش کلیدی ادغام ZIF-EMT در بهبود پایداری ساختاری و امکان تنظیم پروفایل های تخریب از طریق طراحی ترکیبی را برجسته می سازد.

ارزیابی زیست تخریب پذیری:

همان طور که در شکل شماره ۵ مشاهده می شود، ارزیابی زیست تخریب پذیری نانوالیاف PVA/CS/TG و PVA/CS/TG/ZIF-EMT سنتز شده، پروفایل های تخریب متمایزی را طی دوره ای ۲۱ روزه در محیط PBS در دمای فیزیولوژیکی نشان داد. نانوالیاف TG در مقایسه با نمونه های حاوی ZIF-EMT سرعت و میزان تخریب بیشتری از خود نشان دادند. در مراحل ابتدایی، هر دو ترکیب نرخ تخریب نسبتاً مشابهی داشتند؛ اما در پایان دوره آزمایش تفاوت های بارزی مشاهده شد، به طوری که نافیره ای PVA/CS/TG با کاهش وزن ۹۷/۰۳ درصد تقریباً به تخریب کامل رسیدند، در حالی که نانوالیاف های PVA/CS/TG/ZIF-EMT با کاهش وزن ۷۸/۲۲ درصد، مقداری از یکپارچگی ساختاری خود را حفظ کردند. نانوالیاف حاوی ZIF-EMT سرعت تخریب اولیه کمتری را نشان داد که می توان آن را به آثار سد کنندگی ذرات ZIF-EMT نسبت داد. این ذرات با ایجاد موانع فیزیکی می توانند PBS و فرایند هیدرولیز را مهار کنند. اختلاف در سیستیک تخریب را می توان به تغییرات ترکیبی و تعاملات متفاوت میان اجزای ماتریس نانوالیاف نسبت داد. این نتایج نشان می دهد که در حالی که هر دو دستگاه نانوالیاف از قابلیت زیست تخریب پذیری برخوردارند، حضور ZIF-EMT به طور

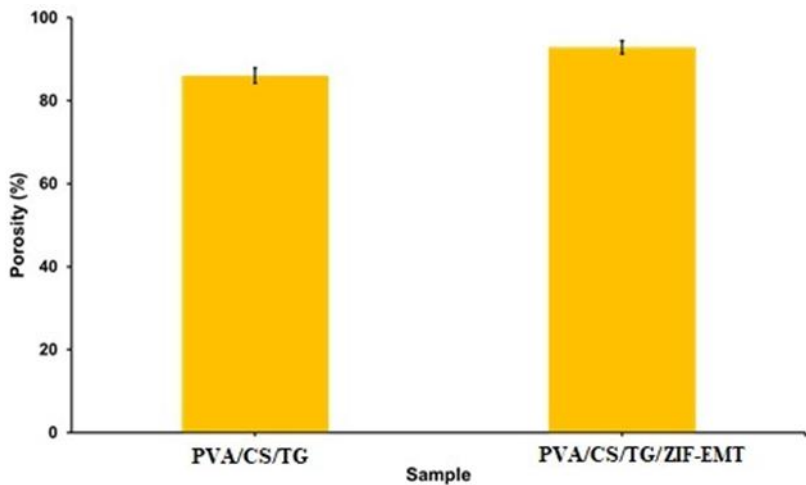


شکل شماره ۵. سرعت تخریب نانوایاف‌های PVA/CS/TG/ZIF-EMT و PVA/CS/TG بر اساس کاهش وزن در دوره ۲۱ روزه

مهمی در بهبود عملکرد داربست‌های زیستی، بهویژه در کاربردهای مهندسی بافت و پزشکی بازساختی است (۲۸). افزایش تخلخل در نانوایاف PVA/CS/TG/ZIF-EMT می‌تواند تأثیر مثبتی بر چسبندگی سلولی، تکثیر و انتشار مواد غذی داشته باشد که این عوامل برای بازسازی موفق بافت ضروری هستند؛ همچنین داربست‌های متخلخل تر ظرفیت بیشتری برای جذب و نگهداری مایعات دارند که می‌تواند به حفظ یک ریزمحیط مرطوب و مناسب برای فعالیت‌های سلولی کمک کند. در مجموع، نتایج بهوضوح نشان می‌دهد که ادغام ذرات ZIF-EMT به طور مؤثری باعث افزایش تخلخل داربست‌های PVA/CS/TG شده و به این ترتیب، پتانسیل کاربرد آن‌ها در مهندسی بافت را ارتقا داده است. با این حال، انجام مطالعات تکمیلی برای بررسی خواص مکانیکی، رفتار زیست‌تخریب‌پذیری و تعاملات سلولی این داربست‌های نانوایاف ضروری است تا کارابی واقعی آن‌ها در محیط‌های بازساختی به‌طور کامل روشن شود.

ارزیابی تخلخل:

تجزیه و تحلیل تخلخل نانوایاف الکتروریسمی شده نشان‌دهنده افزایش چشمگیر تخلخل پس از ادغام ذرات-ZIF در نانوایاف PVA/CS/TG است. همان‌طور که در شکل شماره ۶ مشاهده می‌شود، نانوایاف PVA/CS/TG تخلخل ۸۶/۰۷ درصد داشتند، درحالی‌که نانوایاف PVA/CS/TG/ZIF-EMT ۹۲/۸۸ درصد داشتند. این افزایش قابل توجه را می‌توان به حضور ذرات ZIF-EMT نسبت داد که به‌نظر می‌رسد، با تغییر مورفولوژی الیاف و ساختار داخلی طی فرایند الکتروریسمی، به ایجاد شبکه‌ای متخلخل تر و بهم‌پیوسته‌تر کمک کرده‌اند. افزودن ZIF-EMT به ماتریس نانوایافی احتمالاً از طریق ویژگی‌های تخلخل ذاتی این ذرات و نقش آن‌ها به عنوان نقاط هسته‌زایی تخلخل در حین شکل‌گیری الیاف، موجب افزایش فضای خالی در ساختار داربست شده است. تخلخل بالاتر به افزایش نسبت سطح به حجم منجر می‌شود که عامل

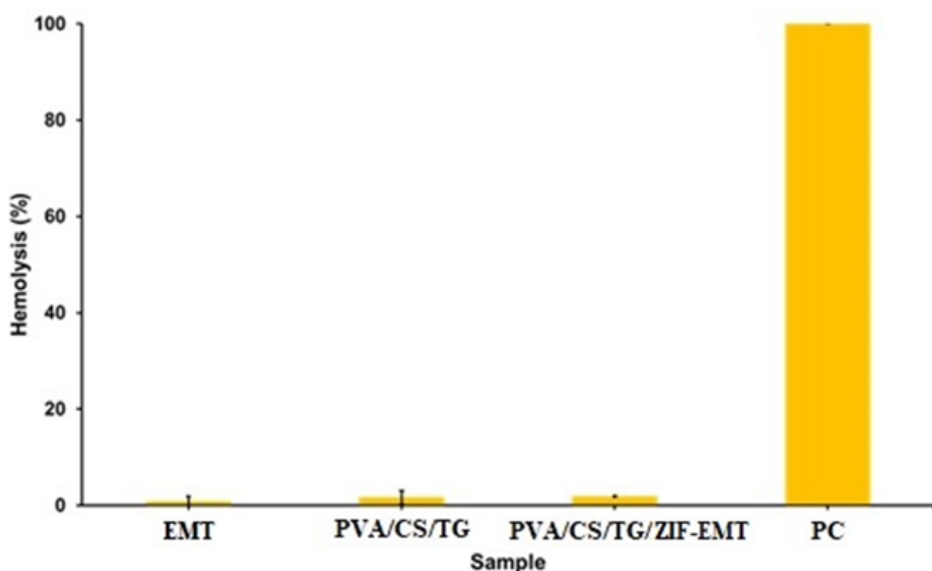


شکل شماره ۶. درصد تخلخل نانوفیرهای ساخته شده

افزایش در میزان همولیز منجر شد؛ اما این مقدار همچنان در محدوده قابل قبول باقی ماند. این یافته‌ها حاکی از آن است که مواد سنترالیزه، بهویژه ذرات ZIF-EMT و نانوالیاف کامپوزیتی حاوی آن، پتانسیل بسیار کمی برای لیز گلبول‌های قرمز دارند و برای کاربردهای مرتبط با تماس مستقیم با خون مناسب هستند. هموسازگاری مشاهده شده احتمالاً به زیست‌سازگاری ذاتی ترکیبات استفاده شده و برهم‌کنش‌های هم‌افزایانه میان اجزای کامپوزیت نسبت داده می‌شود. این نتایج بر پتانسیل استفاده از این مواد در کاربردهای زیست‌پزشکی، نظیر سامانه‌های دارورسانی، داربست‌های مهندسی بافت و پوشش‌های دستگاه‌های قابل کاشت تأکید می‌کند که نیازمند سطح بالایی از سازگاری خونی هستند.

ارزیابی خون‌سازگاری:

نتایج آزمون همولیز ارائه شده در شکل شماره ۷ نشان می‌دهد که همه مواد سنترالیزه از سازگاری خونی بسیار مناسبی برخوردار هستند. در میان نمونه‌ها، PVA/CS/TG/ZIF-EMT کمترین میزان همولیز را با ۰/۸۶ درصد نشان داد، درحالی که نانوالیاف PVA/CS/TG و نانوالیاف کامپوزیتی PVA/CS/TG/ZIF-EMT به ترتیب ۱/۷ و ۱/۹۱ درصد و درصد همولیز را ثبت کردند. شایان ذکر است که میزان همولیز همه نمونه‌ها کمتر از ۲ درصد بود که مطابق با استاندارد ASTM F756-00 (۲۰۰۰) برای مواد غیرهمولیتیک است (۱۵). ادغام ZIF-EMT با نانوالیاف PVA/CS/TG به اندازی

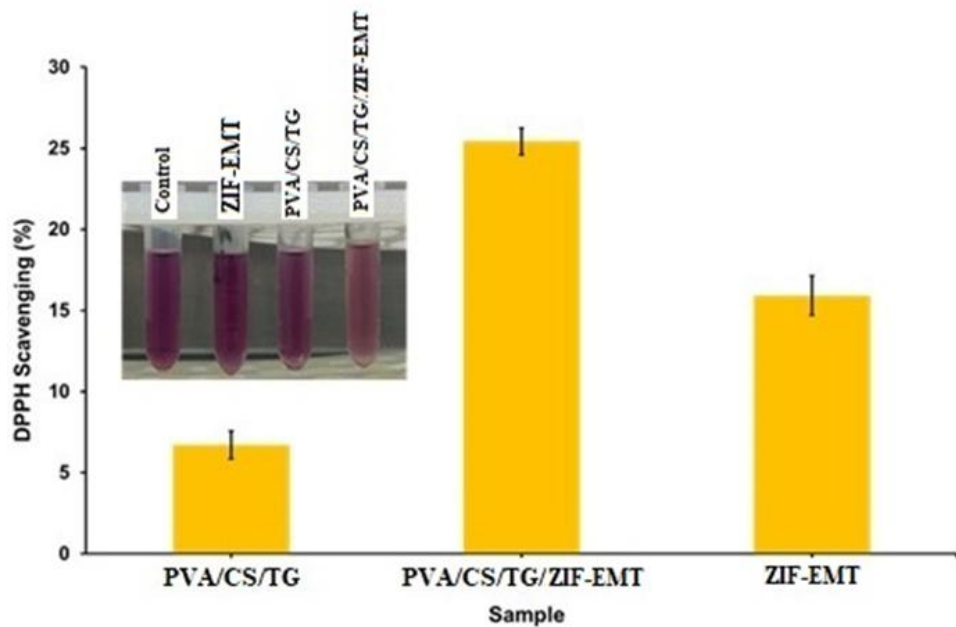


شکل شماره ۷. درصد همولیز برونشون تنبی القاشه توسط نانوالیاف‌ها

سنجهش مهار DPPH

میان ماتریس نانوالیاف و ZIF-EMT است. ZIF-EMT به علت مساحت سطح بالا و خواص کاتالیزوری بالقوه اش شناخته شده است که می تواند کارایی مهار رادیکال ها را افزایش دهد. ادغام ZIF-EMT در ماتریس نانوالیاف PVA/CS/TG احتمالاً با فراهم کردن مکان های فعال بیشتر برای واکنش با رادیکال های DPPH، موجب بهبود فراوانی عملکرد آنتی اکسیدانی شده است. ذرات ZIF-EMT به تهابی مهار ۱۵/۹۲ درصد را نشان دادند که بالاتر از نانوالیاف PVA/CS/TG و کمتر از نانوالیاف ترکیبی بود. این نتیجه حاکی از آن است که گرچه ZIF-EMT خواص آنتی اکسیدانی ذاتی دارد، ادغام آن با ماتریس پلیمر باعث افزایش بیشتر این قابلیت می شود، احتمالاً به علت بهبود پراکندگی ذرات و افزایش سطح مؤثر برای تعامل با رادیکال ها. این نتایج اهمیت ترکیب مواد را در تعیین کارایی آنتی اکسیدانی برجسته می کند. عملکرد برتر نانوالیاف PVA/CS/TG/ZIF-EMT پتانسیل استفاده از این مواد کامپوزیتی را در کاربردهایی تأیید می کند که به خواص آنتی اکسیدانی بالا نیاز دارند؛ نظیر سامانه های دارورسانی، مهندسی بافت و بسته بندی های زیست فعال. روندهای مشاهده شده با این فرضیه همسو هستند که افزودن ترکیبات عملکردی مانند ZIF-EMT به ماتریس های پلیمری می تواند خواص عملکردی آنها را به طور فراوانی بهبود بخشد. در مجموع، نتایج آزمون DPPH افزایش واضح فعالیت آنتی اکسیدانی در نانوالیاف PVA/CS/TG/ZIF-EMT نسبت به اجزای منفرد آن را تأیید می کند و اثربخشی راهبرد طراحی مواد کامپوزیتی با ویژگی های عملکردی ارتقا یافته را برجسته می سازد.

ترکیب DPPH یک پودر کربستالی تیره رنگ است که از رادیکال های آزاد پایدار تشکیل شده است. این روش بر مبنای انتقال الکترون یا رادیکال هیدروژن از ترکیب آزمایش شده به رادیکال DPPH و درنتیجه، مهار آن استوار است. به علت وجود یک الکترون منفرد در ساختار DPPH، این رادیکال در طول موج ۵۱۷ نانومتر جذب مشخصی دارد. محلول متابولی DPPH در غیاب ترکیبات آنتی اکسیدانی به رنگ بنفش است، در حالی که حضور آنتی اکسیدان ها باعث تغییر رنگ محلول از زرد تا بی رنگ، متناسب با غلظت آنتی اکسیدان می شود؛ بنابراین، توانایی ترکیبات مختلف در مهار رادیکال های آزاد DPPH با ارزیابی تغییر رنگ محلول و اندازه گیری کاهش جذب نوری قبل سنجش است (۳۰، ۲۹). در این مطالعه، خواص آنتی اکسیدانی نانوالیاف های سنتز شده و ذرات ZIF-EMT با استفاده از آزمون مهار رادیکال DPPH بررسی شد. نتایج که به صورت درصد مهار DPPH در شکل شماره ۸ ارائه شده است، تفاوت های متمایزی در فعالیت آنتی اکسیدانی این مواد نشان می دهد. نانوالیاف PVA/CS/TG کمترین فعالیت آنتی اکسیدانی را با ۶/۷۱ درصد مهار رادیکال نشان دادند. این میزان نسبتاً پایین را می توان به ویژگی های فردی اجزای سازنده نسبت داد، به طوری که اگرچه هر کدام ظرفیت آنتی اکسیدانی محدودی دارند، ترکیب آنها در این فرمولا سیون خاص به مهار چشمگیری منجر نمی شود. در مقابل، نانوالیاف PVA/CS/TG/ZIF-EMT بالاترین فعالیت آنتی اکسیدانی را با درصد مهار ۲۵/۴۴ درصد به نمایش گذاشتند. این افزایش چشمگیر در فعالیت آنتی اکسیدانی نشان دهنده اثر هم افزایی

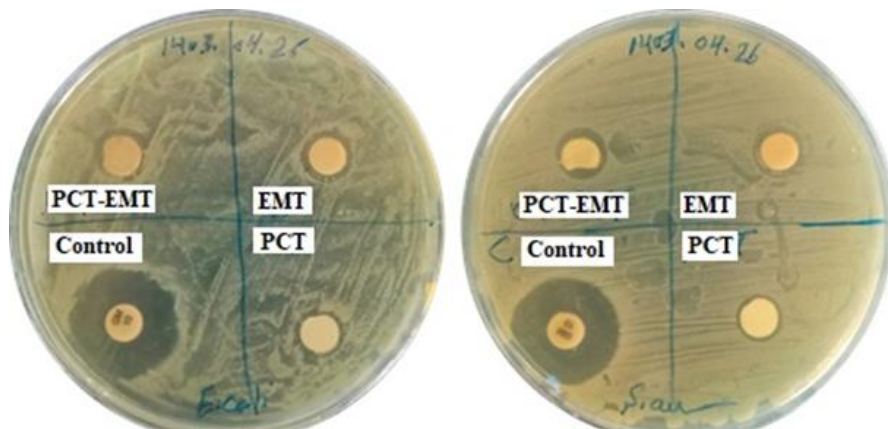


شکل شماره ۸. فعالیت آنتی اکسیدانی بر اساس جذب DPPH در محلول حاوی ZIF-EMT، نانوفیر FG، PVA/CS/TG و PVA/CS/TG/ZIF-EMT (تصویر تغییر رنگ محلول درج شده است)

نشان دهنده فقدان فعالیت ضدباکتریایی آن هاست. ZIF-EMT به تنها یابی و همچنین نانوالیاف PVA/CS/TG بدون اثر مهاری بر رشد این باکتری بودند. حتی با وجود ویژگی های ذاتی ضد میکروبی کیتوسان به نظر می رسد غلطت یا ساختار ترکیب نهایی اثربخشی لازم را ایجاد نکرده است؛ همچنین ادغام ZIF-EMT در نانوالیاف نیز به بهبود فعالیت ضدباکتریایی منجر نشد. نتایج بدست آمده برای اشریشیاکلی مشابه یافته های مربوط به استافیلوکوکوس اورئوس بود. جنتامايسین اثربخشی بالایی داشت؛ اما ترکیبات سنتر شده نتوانستند منطقه بازدارندگی فراوانی ایجاد کنند. این نتایج نشان می دهد که ZIF-EMT سنتر شده و نانوالیاف PVA/CS/TG و ترکیب آنها بدون خواص ضدباکتریایی مؤثر علیه این باکتری های مدل هستند (۳۰). در مجموع، این نتایج بر نیاز به بهینه سازی ترکیبات، غلطت ها یا افزودن عوامل آنتی باکتریال مکمل برای افزایش اثربخشی این مواد تأکید می کند. بررسی های بیشتر درباره سازو کارهای عمل می تواند به بهبود کارایی ضدباکتریایی این نانو ساختارها کمک کند.

بررسی خواص آنتی باکتریایی:

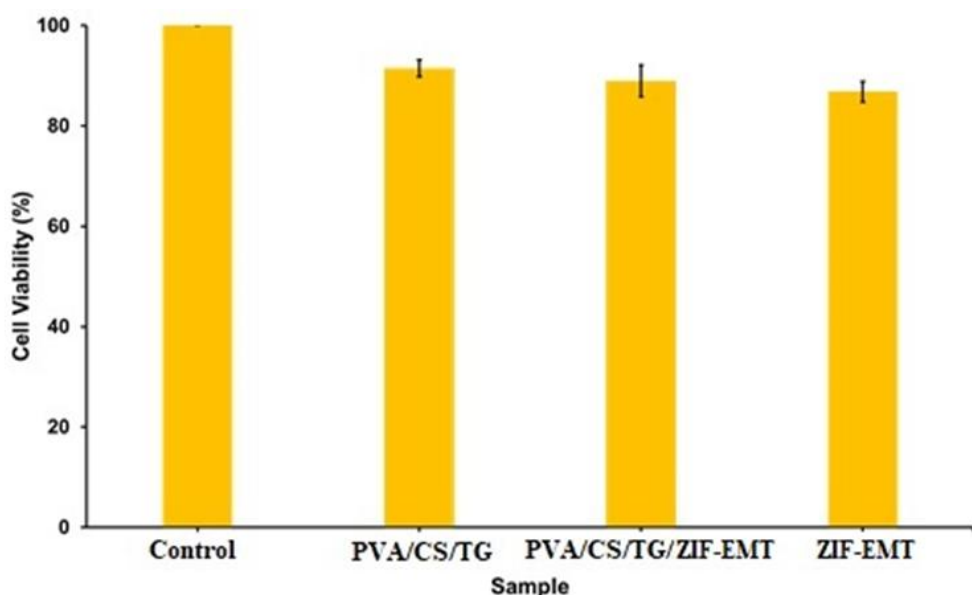
برای ارزیابی فعالیت آنتی باکتریایی، از باکتری های اشریشیاکلی (ATCC 25923) به عنوان نماینده گرم منفی و استافیلوکوکوس اورئوس (ATCC 25922) به عنوان نماینده گرم مثبت استفاده شد که از مرکز کلکسیون میکرو اگار گانیسم های صنعتی ایران تهیه گردیدند. محیط های کشت مولر هیتون براث و آگار برای رشد این میکرو اگار گانیسم ها به کار گرفته شد. آزمون فعالیت آنتی باکتریایی نانوالیاف های سنتر شده به روش دیسک گذاری انجام شد و نتایج در شکل شماره ۹ ارائه شده است. ZIF-EMT سنتر شده، نانوالیاف TG و نانوالیاف ترکیبی PVA/CS/TG/ZIF-EMT در برابر هر دو باکتری آزمایش گردیدند و با جنتامايسین به عنوان کنترل مثبت مقایسه شدند. مطابق نتایج، جنتامايسین نواحی بازدارندگی واضحی ایجاد کرد؛ اما ترکیبات سنتر شده اثر آنتی باکتریالی چشمگیری نشان ندادند. در برابر استافیلوکوکوس اورئوس، مناطق بازدارندگی برای نمونه های مطالعه شده بسیار کم یا غایب بود که



شکل شماره ۹. ارزیابی فعالیت آنتی باکتریال ZIF-EMT و نانوفیرهای سنتز شده با و بدون ZIF-EMT در مقایسه با نمونه کنترل در مقابل باکتری-های استافیلوکوکوس اورئوس و اشريشیا کلی به روش انتشار دیسک. علامت‌های اختصار شکل: PCT: نانوایاف TG/PVA/CS; EMT: نانوایاف ZIF-PCT; PCT-EMT: نانوایاف ZIF-EMT.

نانوکامپوزیت PVA/CS/TG/ZIF-EMT با زنده‌مانی سلولی ۸۶/۸۳ درصد، اندکی کاهش در زیست‌سازگاری نشان داد که می‌تواند ناشی از تغییرات سطحی یا آثار هم‌افزایی پس از ادغام ZIF-EMT باشد. با وجود این، این میزان همچنان در محدوده قابل قبول برای کاربردهای زیست‌پزشکی قرار دارد. به طور کلی، یافته‌ها حاکی از آن است که هر سه ماده پروفایل زیست‌سازگاری مطلوبی داشتند و پتانسیل استفاده در سامانه‌های پزشکی و مهندسی بافت را دارند (۳۱، ۳۲).

بررسی میزان زیست‌سازگاری روی سلول‌های فیروپلاست انسانی: بر اساس نتایج آزمون MTT (شکل شماره ۱۰)، هر سه ماده سنتز شده سمیت سلولی پایینی از خود نشان دادند و میزان زنده‌مانی سلولی در همه نمونه‌ها بالاتر از ۸۶ درصد بود. در این میان، ZIF-EMT با نرخ بقای سلولی ۹۱/۵ درصد بالاترین سطح زیست‌سازگاری را نشان داد و حداقل آثار منفی بر فعالیت متابولیک سلول‌ها داشت. نانوایاف TG/PVA/CS نیز با زنده‌مانی ۸۸/۹۹ درصد، زیست‌سازگاری بالایی را حفظ کرد. در مقایسه،



شکل شماره ۱۰. زنده‌مانی سلولی برای تکثیر سلول‌های فیروپلاست انسانی کشت شده روی سطح نمونه‌های سنتز شده ZIF-EMT، PVA/CS/TG/ZIF-EMT و PVA/CS/TG

در زمینه جذب آب و تورم پذیری، نانوالیاف های PVA/CS/TG/ZIF-EMT ظرف ۲۴ ساعت، ظرفیت جذب آب ۸۶/۷۶ درصد را نشان دادند، در حالی که نانوالیاف بدون ZIF-EMT ظرفیت جذب آب بالاتری معادل ۸۷/۲۶ درصد داشتند. این کاهش جزئی در جذب آب به تغییر تعادل آب دوستی-آب گریزی ساختار نانوالیاف نسبت داده می شود که توسط چارچوب ZIF-EMT ایجاد شده است. این تغییرات نشان دهنده تأثیر ZIF-EMT بر سازو کارهای تخلخل و نگهداری آب در ساختار نانوالیاف هاست. از نظر تخریب پذیری، نتایج نشان داد که نانوالیاف های حاوی ZIF-EMT تخریب کمتری (۷۷/۲۲ درصد) در مقایسه با نانوالیاف های بدون ZIF-EMT داشتند (۹۷/۰۳ درصد). این امر به معنای کاهش سرعت تخریب ساختار نانوالیاف ها به علت حضور ZIF-EMT است که برای کاربردهای پاسمنان زخم مفید است که نیاز به پایداری و زمان مناسب برای ترمیم دارند (۲۸). تخلخل نانوالیاف ها تحت تأثیر حضور ZIF-EMT قرار گرفت. نانوالیاف های PVA/CS/TG/ZIF-EMT تخلخل بالاتری (۹۲/۸۸ درصد) نسبت به نمونه های بدون ZIF-EMT داشتند (۸۶/۰۷ درصد). این افزایش تخلخل به علت تغییرات مورفو لوژیکی ایجاد شده توسط حضور ZIF-EMT است که شبکه متخلخل پیوسته تری را در ساختار نانوالیاف ها ایجاد کرده است. تخلخل بالا باعث بهبود چسبندگی سلولی و تسهیل فرایندهای متابولیک مانند تبادل مواد مغذی و دفع متابولیت ها می شود (۳۵).

آزمون همولیز که فعالیت همولیتیک نانو کامپوزیت ها را ارزیابی می کند، نشان داد که درصد همولیز در نمونه ها کمتر از ۲ درصد بود که این مقدار مطابق با استاندارد ASTM F756-00، نشان دهنده سازگاری خونی مناسب مواد است. این نتایج تأیید می کنند که نانوالیاف های حاوی ZIF-EMT خواص زیست سازگاری مناسب دارند.

در ارزیابی فعالیت آنتی اکسیدانی به روشن DPPH، نتایج نشان داد که نانو الیاف های PVA/CS/TG/ZIF-EMT به طور چشمگیری ظرفیت مهار رادیکال های آزاد بیشتری نسبت به نانوالیاف های بدون ZIF-EMT دارند. این به علت

بحث و نتیجه گیری

زئولیت ماده ای مزوپور زیست ساز گار است که به علت توانایی بالای جذب آب در محیط های سخت شناخته شده است. کاربرد آن در بهبود زخم های خارجی پیش تر تأیید شده است (۳۳) و در این مطالعه، استفاده از آن در نانو کامپوزیت های مبتنی بر نانوالیاف های PVA، کیتوسان و کتیرا بررسی گردید. نانوالیاف های یادشده چه به صورت تک پلیمر و چه در ترکیب های دوتایی و سه گانه، به ویژه زمانی که بارگذاری دارویی یا نانوذرات در ساختار آنها صورت گیرد، در ترمیم انواع زخم ها عملکرد مطلوبی از خود نشان داده اند (۱۰، ۱۱). در این تحقیق، زئولیت نوع EMT به دقت سنتز و ارزیابی شد و آثار آن بر ویژگی های ساختاری و مکانیکی نانوالیاف ها بررسی گردید.

تصاویر میکروسکوپ الکترونی SEM نشان دادند که با افودن زئولیت به محلول پلیمرها، ریز ساختار نانوالیاف تغییرات فراوانی را تجربه کرد. جهت گیری منظم نانوالیاف با سطح صاف و یکنواخت به یک ساختار راندوم و تصادفی با سطح ناهموار و قطر بزرگتر تبدیل شد. این تغییرات احتمالاً به علت افزایش ویسکوزیته و تغییر چگالی بار محلول ناشی از حضور زئولیت و همچنین برهم کنش های میان ZIF-EMT و پلیمرها است (۳۴).

تجزیه و تحلیل FTIR حضور گروه های عاملی و پیوندهای مولکولی را تأیید کرد و تجزیه و تحلیل DLS اندازه ذرات ZIF-EMT را در حدود ۱/۱ میکرومتر و پتانسیل زتای آن را برابر با ۳۴.۷-۳۴.۷ میلی ولت نشان داد. آزمون کشش مکانیکی نشان داد که نانوالیاف های PVA/CS/TG/ZIF-EMT از نظر استحکام مکانیکی نسبت به نمونه های بدون ZIF-EMT بهبود چشمگیری داشتند. این امر نشان دهنده افزایش سفتی و پایداری ساختاری نانوالیاف ها پس از افزودن زئولیت است. با این حال، انعطاف پذیری نانوالیاف های حاوی ZIF-EMT کاهش یافت. این تغییرات ساختاری و مکانیکی ZIF-EMT به احتمال فراوان به علت برهم کنش های میان ذرات ZIF-EMT و پلیمرها است که باعث ایجاد شبکه ای مستحکم تر و پایدار تر شده است.

کد اخلاق

این مطالعه توسط کمیته اخلاق دانشگاه علوم پزشکی کرمانشاه (ایران) تأیید شده است. نویسندها از جمل داده‌ها، تحریف، سرفت ادبی و تخلف اجتناب کردند.

حمایت مالی

این مطالعه با کمک مالی دانشگاه علوم پزشکی کرمانشاه انجام شده است.

مشارکت نویسندها

همه نویسندها در نوشت و تایید نهایی مقاله و جمع آوری دادا و آنالیز آن مشارکت داشته‌اند.

افزایش تعداد مکانهای فعال بر ZIF-EMT برای تعامل با رادیکالهای DPPH است. علاوه بر این، ترکیب ZIF-EMT به طور چشمگیری کارایی آنتیاکسیدانی نانوالیاف‌ها را بهبود بخشید (۳۳).

در آزمون‌های آنتیباکتریال که به روش دیسک‌گذاری انجام شد، هیچ فعالیت ضد باکتریای از نانوالیاف‌ها مشاهده نشد. این نتیجه مشابه با یافته‌های پیشین است که گزارش کرده‌اند که برخی از نانوکامپوزیت‌ها ممکن است بدون خواص آنتیباکتریال باشند (۳۵).

نتایج سنجش MTT که برای ارزیابی زیست‌سازگاری نانو الیاف‌ها انجام شد، نشان داد که همه نمونه‌ها شامل ZIF-EMT و نانوالیاف‌های ساخته شده، در صد زنده‌مانی سلولی بالای ۸۶ درصد داشتند و هیچ اثر سمی مضر بر تکثیر و رشد سلول‌ها نشان ندادند. این آثار مثبت به استفاده از پلیمرهای طبیعی مانند کیتوسان و کتیرا و همچنین ZIF در ساختار نانو الیاف‌ها مربوط می‌شود که باعث زیست‌سازگاری بالا و پایداری سلولی در محیط کشت‌شده است (۲۸).

در نهایت، یافته‌های این مطالعه نشان می‌دهند که نانوالیاف‌های PVA/CS/TG/ZIF-EMT و PVA/CS/TG و ویژگی‌های مکانیکی مناسب، زیست‌سازگاری قابل قبول، ظرفیت تورم مناسب و رفتار تخریبی قابل کنترل دارند. افزودن زئولیت EMT به ساختار نانوالیاف‌ها باعث بهبود ویژگی‌های ساختاری و مکانیکی آنها می‌شود و پتانسیل استفاده به عنوان پاسمندان زخم را به طور مؤثر تقویت می‌کند.

سپاس‌گزاری

این مقاله مستخرج از کار پژوهشی مصوب معاونت تحقیقات و فناوری دانشگاه علوم پزشکی کرمانشاه با شماره طرح ۹۹۰۲۵۳ می‌باشد. بدین وسیله از معاونت تحقیقات و فناوری دانشگاه علوم پزشکی کرمانشاه به دلیل حمایت‌های مالی تقدیر و تشکر می‌گردد.

تعارض منافع

نویسنده‌گان اعلام می‌دارند که در انجام این پژوهش، هیچ گونه تعارض منافعی گزارش نشده است.

References

- Park JW, Hwang SR, Yoon I-S. Advanced growth factor delivery systems in wound management and skin regeneration. *Molecules.* 2017;22:1259. doi: 10.3390/molecules22081259.
- Percival NJ. Classification of wounds and their management. *Surgery (Oxford).* 2002;20:114-7. doi: 10.1383/surg.20.5.114.14626.
- Landén NX, Li D, Ståhle M. Transition from inflammation to proliferation: a critical step during wound healing. *Cell Mol Life Sci.* 2016;73:3861-85. doi: 10.1007/s00018-016-2268-0
- Brumberg V, Astrelina T, Malivanova T, Samoilov A. Modern wound dressings: hydrogel dressings. *Biomedicines.* 2021;9:1235. doi: 10.3390/biomedicines9091235.
- Abdelrahman T, Newton H. Wound dressings: principles and practice. *Surgery (oxford).* 2011;29:491-5. doi: 10.1016/j.mpsur.2017.06.005.
- Zhang Z, Feng Y, Wang L, Liu D, Qin C, Shi Y. A review of preparation methods of porous skin tissue engineering scaffolds. *Mater. Today Commun.* 2022;32:104109. doi: 10.1016/j.mtcomm.2022.104109.
- Wang F, Hu S, Jia Q, Zhang L. Advances in electrospinning of natural biomaterials for wound dressing. *J Nanomater.* 2020;2020:8719859. doi: 10.1155/2020/8719859.
- Jiang S, Liu S, Feng W. PVA hydrogel properties for biomedical application. *J Mech Behav Biomed Mater.* 2011;4:1228-33. doi: 10.1016/j.jmbbm.2011.04.005.
- Eskandani M, Derakhshankhah H, Jahanban-Esfahlan R, Jaymand M. Biomimetic alginate-based electroconductive nanofibrous scaffolds for bone tissue engineering application. *Int J Biol Macromol.* 2023;249:125991. doi: 10.1016/j.ijbiomac.2023.125991.
- Zhao D, Yu S, Sun B, Gao S, Guo S, Zhao K. Biomedical applications of chitosan and its derivative nanoparticles. *Polymers.* 2018;10:462. doi: 10.3390/polym10040462.
- Ranjbar-Mohammadi M, Bahrami SH. Development of nanofibrous scaffolds containing gum tragacanth/poly (ϵ -caprolactone) for application as skin scaffolds. *Mater Sci Eng C Mater Biol Appl.* 2015;48:71-9. doi: 10.1016/j.msec.2014.10.020.
- Bilal M, Khaliq N, Ashraf M, Hussain N, Baqar Z, Zdarta J, et al. Enzyme mimic nanomaterials as nanozymes with catalytic attributes. *Colloids Surf B Biointerfaces.* 2023;221:112950. doi: 10.1016/j.colsurfb.2022.112950.
- Zhou Y, Chen W, Wang P, Zhang Y. EMT-type zeolite for deep purification of trace polar-oxygenated compounds from light olefins. *Microporous Mesoporous Mater.* 2018;271:273-83. doi: 10.1016/j.micromeso.2018.05.033.
- Samadian H, Mohammadpour M, Zare S, Izadi Z, Moradi S, Moradi H, et al. Fabrication and Characterization of Nanofibrous Wound Dressings Containing Gentamicin-conjugated Nanoclay. *J Ilam Univ Med Sci.* 2024;32:83-98.
- Gholivand K, Mohammadpour M, Derakhshankhah H, Samadian H, Aghaz F, Malekshah RE, et al. Composites based on alginate containing formylphosphazene-crosslinked chitosan and its Cu (II) complex as an antibiotic-free antibacterial hydrogel dressing with enhanced cytocompatibility. *Int J Biol Macromol.* 2023;253:127297. doi: 10.1016/j.ijbiomac.2023.127297.
- Lu S, Liu Q, Li H, Han R, Song C, Ji N, et al. PEG400-modified EMT zeolite for acetone adsorption. *J Mater Sci.* 2020;55:13737-50. doi:10.1007/s10853-020-04988-7.
- Li J, Gao M, Yan W, Yu J. Regulation of the Si/Al ratios and Al distributions of zeolites and their impact on properties. *Chem Sci.* 2023;14:1935-59. doi: 10.1039/d2sc06010h.
- Thamer BM, Abdo HS. Tragacanth gum-enhanced adsorption performance of polyvinyl alcohol nanofibers for cationic crystal violet dye removal. *Biomass Convers Bior.* 2024;14:8979-91. doi:10.1007/s13399-023-05060-5.
- Heydary HA, Karamian E, Poorazizi E, Khandan A, Heydaripour J. A novel nanofiber of Iranian gum tragacanth-polyvinyl alcohol/nanoclay composite for wound healing applications. *Procedia Mater Sci.* 2015;11:176-82. doi:10.1016/j.mspro.2015.11.079.
- Ma YK, Rigolet S, Michelin L, Paillaud J-L, Mintova S, Khoerunnisa F, et al. Facile and fast determination of Si/Al ratio of zeolites using FTIR spectroscopy technique. *Micropor Mesopor Mater.* 2021;311:110683. doi:10.1016/j.micromeso.2020.110683.
- Nishihara M, Terayama Y, Haji T, Lyth S, Satokawa S, Matsumoto H. Proton-conductive nano zeolite-PVA composite film as a new water-absorbing electrolyte for water electrolysis. *eXPRESS Polym Lett.* 2018;12:256-64. doi: 10.3144/expresspolymlett.2018.23.
- Salim SA, Taha AA, Khozemy EE, EL-Moslamy SH, Kamoun EA. Electrospun zinc-based metal organic framework loaded-PVA/chitosan/hyaluronic acid interfaces in

- antimicrobial composite nanofibers scaffold for bone regeneration applications. *J Drug Deliv Sci Technol.* 2022;76:103823. doi:10.1016/j.jddst.2022.103823.
23. Hsu PY, Hu TY, Kumar SR, Wu KC, Lue SJ. Swelling-Resistant, Crosslinked Polyvinyl Alcohol Membranes with High ZIF-8 Nanofiller Loadings as Effective Solid Electrolytes for Alkaline Fuel Cells. *Nanomaterials (Basel).* 2022;12:865. doi: 10.3390/nano12050865.
24. Aydogdu MO, Oprea AE, Trusca R, Surdu AV, Ficai A, Holban AM, et al. Production and characterization of antimicrobial electrospun nanofibers containing polyurethane, zirconium oxide and zeolite. *Bionanoscience.* 2018;8:154-65. doi:10.1007/s12668-017-0443-x.
25. Çay A, Miraftab M, Kumbasar EPA. Characterization and swelling performance of physically stabilized electrospun poly (vinyl alcohol)/chitosan nanofibres. *Eur polym J.* 2014;61:253-62. doi:10.1016/j.eurpolymj.2014.10.017.
26. Ko SW, Lee JY, Lee J, Son BC, Jang SR, Aguilar LE, et al. Analysis of drug release behavior utilizing the swelling characteristics of cellulosic nanofibers. *Polymers.* 2019;11:1376. doi: 10.3390/polym11091376.
27. Dong Y, Liao S, Ngiam M, Chan CK, Ramakrishna S. Degradation behaviors of electrospun resorbable polyester nanofibers. *Tissue Eng Part B Rev.* 2009;15:333-51. doi: 10.1089/ten.TEB.2008.0619.
28. Schneider M, Rodríguez-Castellón E, Guerrero-Pérez MO, Hotza D, Junior ADN, Moreira RdFPM. Advances in electrospun composite polymer/zeolite and geopolymers nanofibers: A comprehensive review. *Sep Purif Technol.* 2024;340:126684. doi:10.1016/j.seppur.2024.126684.
29. Clerici NJ, Vencato AA, Helm Júnior R, Daroit DJ, Brandelli A. Electrospun poly- ϵ -caprolactone nanofibers incorporating keratin hydrolysates as innovative antioxidant scaffolds. *Pharmaceutics.* 2024;17:1016. doi: 10.3390/ph17081016.
30. ENDİZ MS, AKKAYA R. Design and analysis of an improved single-phase QUASI-Z-source inverter. *Sigma.* 2023;41:602-12. doi:10.14744/sigma.2021.00045.
31. Naseraei MM, Adeli H, Nabavi SR, Salimi-Kenari H, Mansour RN, Sarkati AG. Exploring the potential of incorporating ZIF-67 into electrospun poly (vinyl alcohol)/chitosan nanofibrous mats for wound healing. *Int J Biol Macromol.* 2025;308:141898. doi: 10.1016/j.ijbiomac.2025.141898.
32. Zhao Y, Wang H, Zou X, Wang D, Fan Y, Zhao X, et al. Antibacterial Vancomycin@ZIF-8 loaded PVA nanofiber membrane for infected bone repair. *Int J Biol Macromol.* 2022;23:5629. doi:10.3390/ijms23105629.
33. Neidrauer M, Ercan UK, Bhattacharyya A, Samuels J, Sedlak J, Trikha R, et al. Antimicrobial efficacy and wound-healing property of a topical ointment containing nitric-oxide-loaded zeolites. *J Med Microbiol.* 2014;63:203-9. doi: 10.1099/jmm.0.067322-0.
34. Choi YY, Hanh To DT, Kim S, Cwiertny DM, Myung NV. Mechanically durable tri-composite polyamide 6/hematite nanoparticle/tetra-n-butylammonium bromide (PA6/ α -Fe2O3/TBAB) nanofiber based membranes for phosphate remediation. *Front Chem.* 2024;12:1472640. doi: 10.3389/fchem.2024.1472640.
35. Tanaka FN, Ferreira Jr CR, de Moura MR, Aouada FA. Water absorption and physicochemical characterization of novel zeolite-PMAA-co-PAAm nanocomposites. *J Nanosci Nanotechnol.* 2018;18:7286-95. doi: 10.1166/jnn.2018.15515.